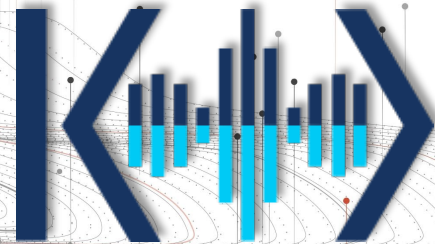


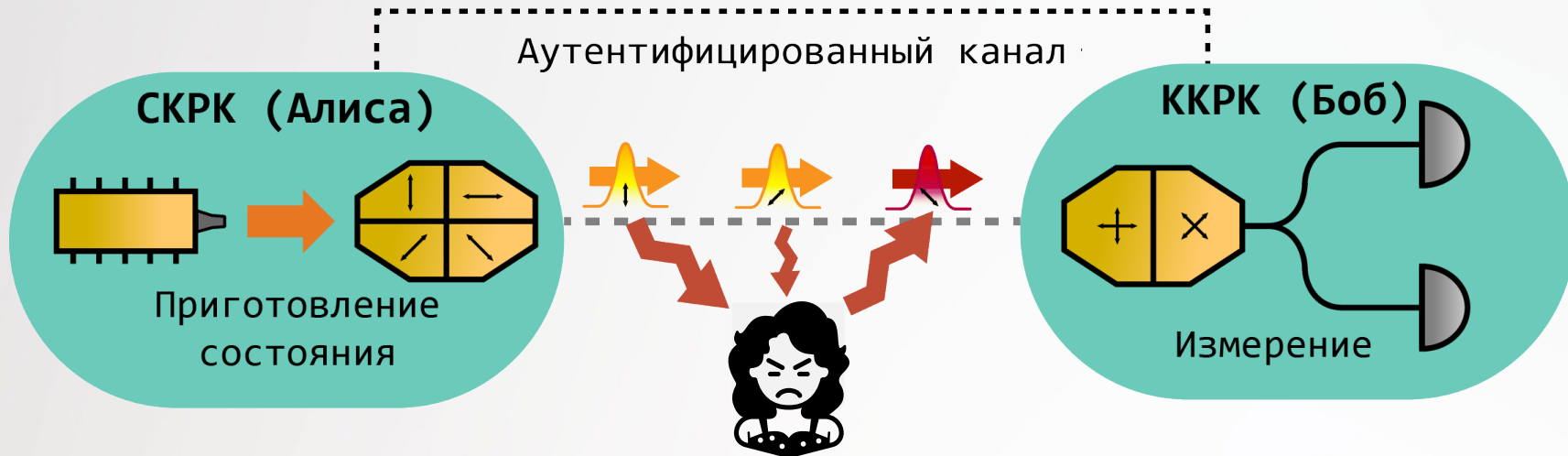
Широкополосная рефлектометрия для анализа уязвимостей систем КРК в ближнем инфракрасном диапазоне

К.Д. Бондарь

**СФБ
ЛАБ**



Квантовое распределение ключей



- Безопасность протокола обеспечивается законами квантовой физики
- Атака на квантовые состояния приводит к их возмущению. Наблюдается рост ошибочных срабатываний

Атаки на техническую реализацию



Побочные каналы

- Trojan Horse
- Backflash
- Радиоизлучение



Навязывание

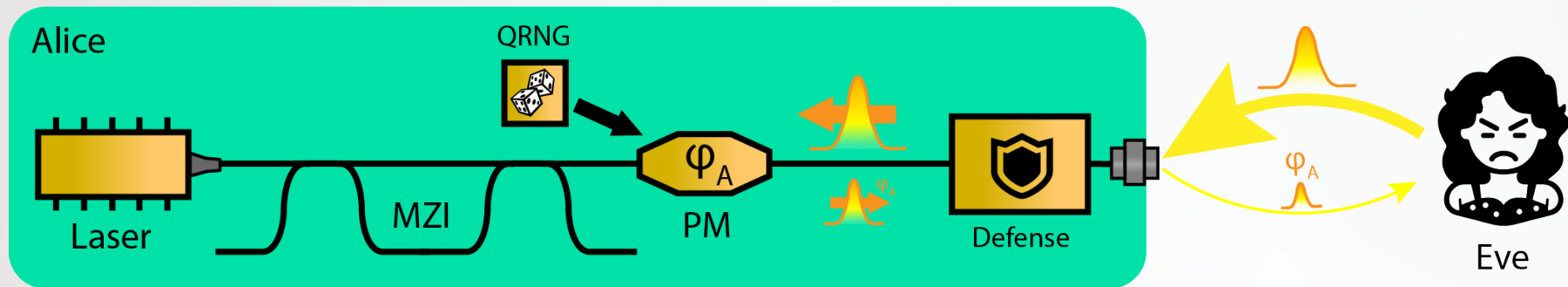
- Detector Blinding
- After-Gate
- Detector Efficiency Mismatch



Изменение свойств системы

- Laser Damage
- Laser Seeding

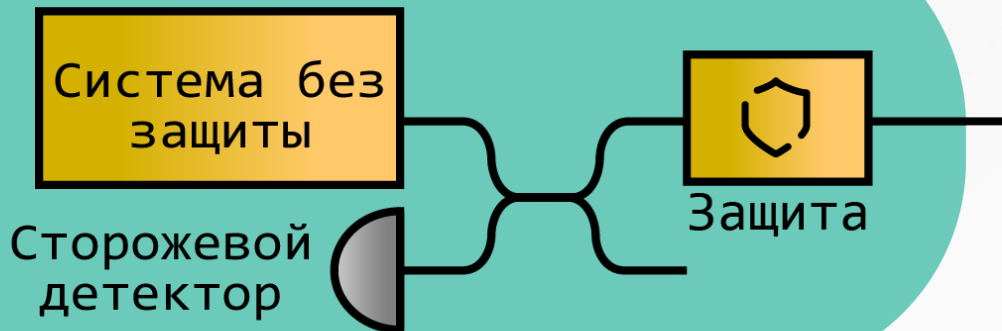
Атака «Trojan Horse»



- Ева посылает световой импульс высокой мощности внутрь системы КРК
- Импульс претерпевает потери и отражается
- Ева проводит измерения над сигналом в отраженном импульсе со средним числом фотонов μ_{Eve}

Защита от «Trojan Horse»

Защищенная система



Алиса

Элементы защиты



- Защита понижает мощность зондирующего излучения
- Демонстрируется нестабильная эффективность в широком спектре

Утечка информации при атаке в широком спектре

- Мощность отраженного сигнала P_{Eve} можно измерить и оценить μ_{Eve} :



- P_{max} – 40 dBm-порог повреждения системы внешним излучением (или чувствительность сторожевого детектора)



- T – спектр пропускания пассивных компонентов защиты



- R – величина максимального пика отражения внутри системы

$$P_{Eve}[\text{dBm}] = P_{\max}[\text{dBm}] + T[\text{dB}] + R[\text{dB}]$$

$$\mu_{Eve}(\lambda) = \frac{P_{Eve}(\lambda)[W] \cdot \lambda}{f_{Eve} \cdot h \cdot c}$$

- Величину утечки информации можно вычислить, зная μ_{Eve}



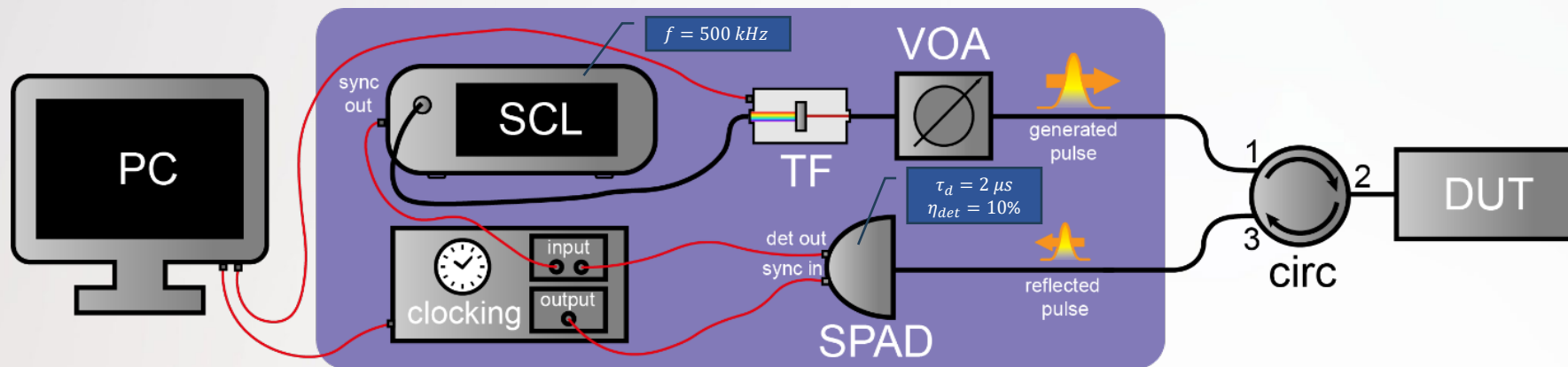
Информация Евы (QBER = 0)

$$\eta = \eta(\mu_{Eve}) \approx 1 - 2\mu_{Eve}$$

$$\bar{\chi}_{Eve} = h\left(\frac{1 - \eta}{2}\right) \approx h(\mu_{Eve})$$

Широкополосный рефлектометр (ν - OTDR)

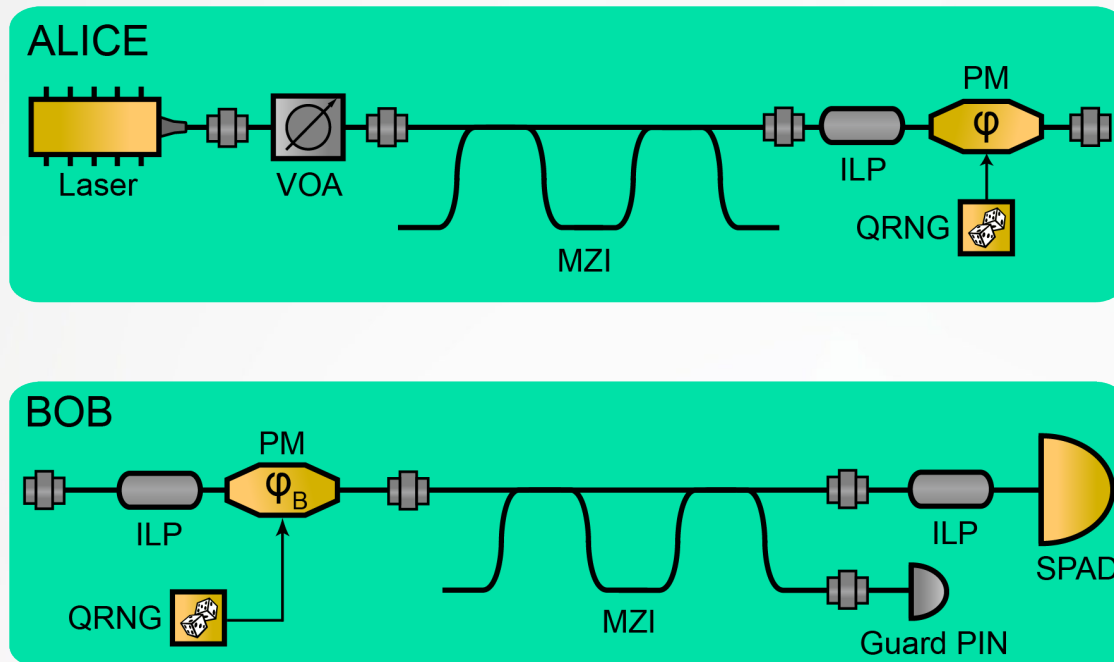
- Для определения максимального пика отражения в широком спектральном диапазоне ($\lambda = 1100 - 1800$ нм) проводится широкополосная **рефлектометрия** системы КРК
- **Рефлектометр** вводит в систему лазерный импульс на каждой длине волны, засекает время возврата его отраженных частей и измеряет их мощность. Динамический диапазон измерений ≈ 80 dB (рэлеевское рассеяние), пространственное разрешение до 10 см в широком спектре.



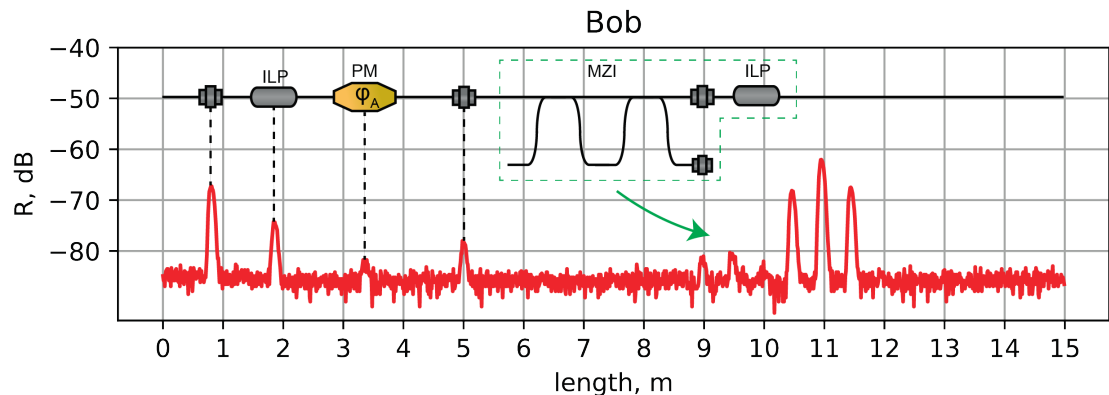
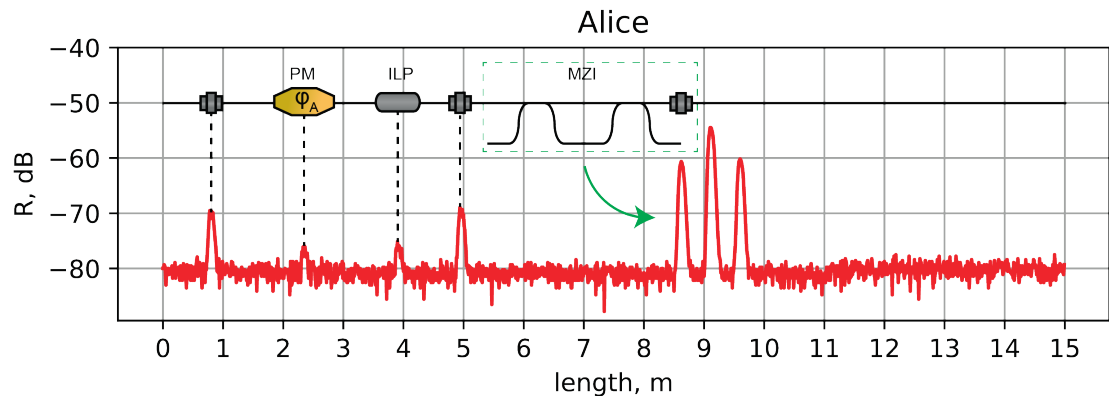
SCL - суперконтинуумный пикосекундный лазер, TF - перестраиваемый фильтр, VOA - перестраиваемый аттенюатор, SPAD - лавинный фотодиод на базе InGaAs, CIRC - волоконный циркулятор

Исследуемая система

- Оптические установки намеренно исследуются без пассивных компонентов защиты для максимизации динамического диапазона
- В системе реализован фазово-временной протокол КРК

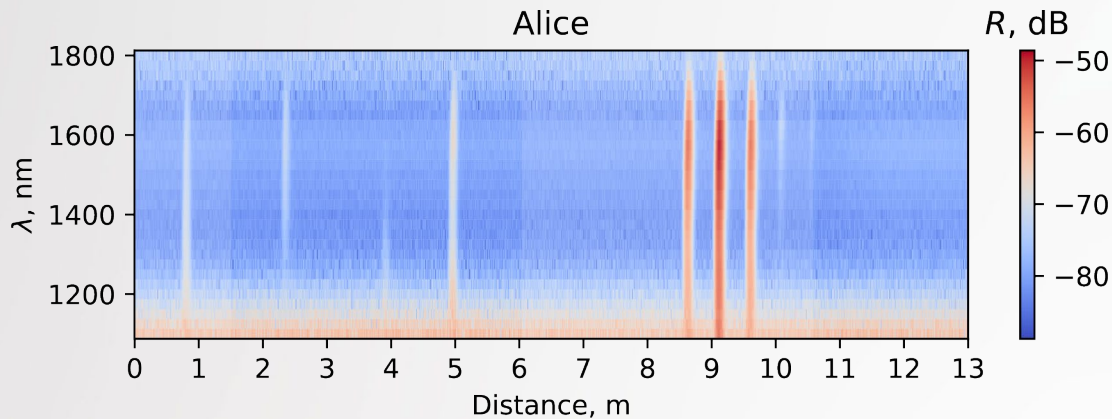


Анализ рефлектограммы на длине волны $\lambda = 1325 \text{ nm}$

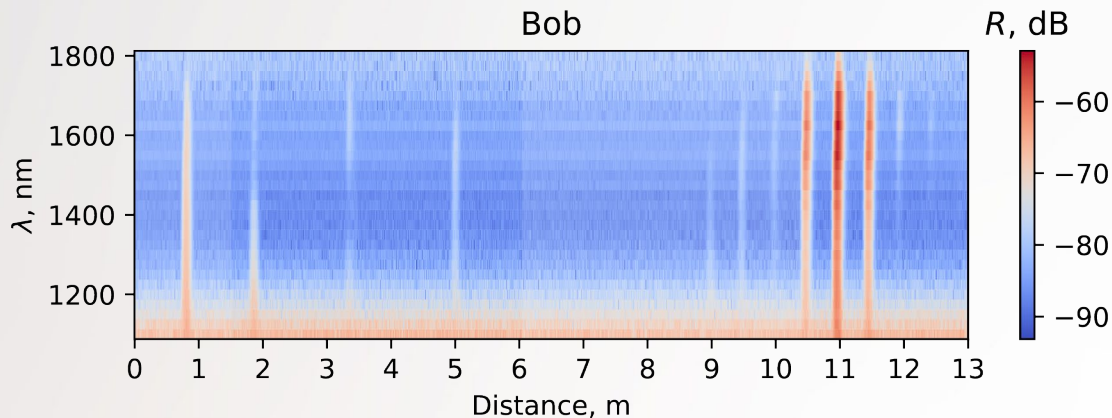


- На длине волны 1325 nm прослеживаются все пики отражений
- Проведено соответствие между пиками на рефлектограмме и волоконными компонентами СКРК
- Максимальные по величине отражения происходят на коннекторах после MZI

Тепловые карты отражений

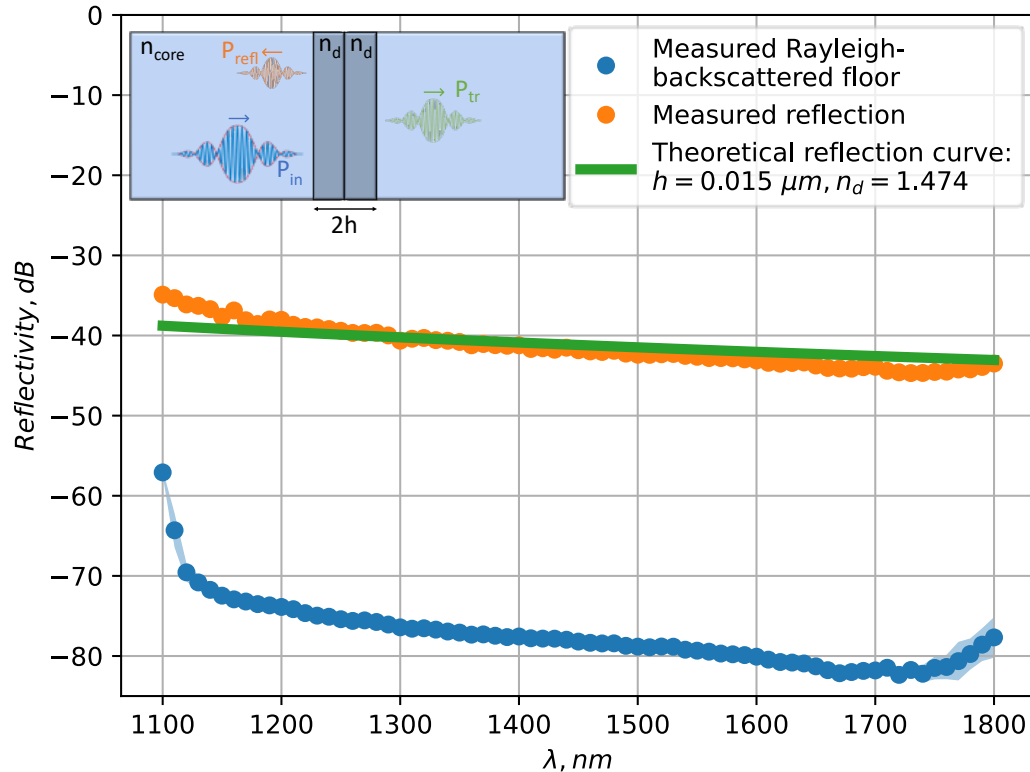


- Максимальное отражение в оптической установке Алисы $R_{\max}^A \approx -49$ dB принадлежит коннектору в схеме MZI ($\lambda_A = 1575$ nm)



- Максимальное отражение в оптической установке Боба $R_{\max}^B \approx -53$ dB также принадлежит коннектору в схеме MZI ($\lambda_B = 1625$ nm)

Величина отражений волоконного коннектора FC/PC

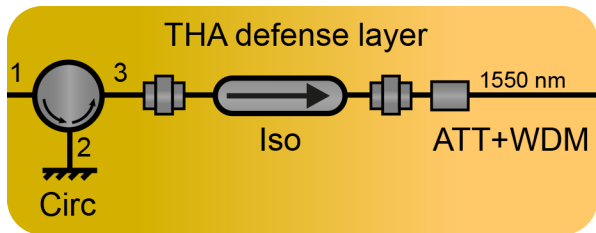


- Измерения проведены в стробируемом режиме работы SPAD
- Динамический диапазон определяется рэлеевским рассеянием
- Теоретическая зависимость описывается моделью резонатора Фабри - Перо [М. Kihara 1996]:

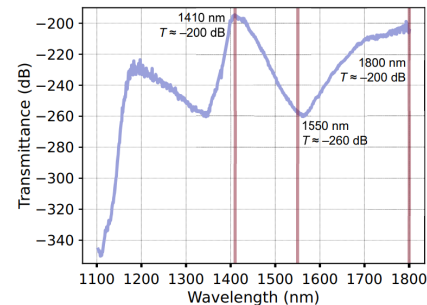
$$R_0 = \left(\frac{n_d - n_{core}}{n_d + n_{core}} \right)^2$$

$$R \approx 10 \cdot \log_{10} \left(R_0 \cdot \left(\frac{4\pi \cdot n_d \cdot 2h}{\lambda} \right)^2 \right)$$

Анализ защищенности системы от атаки Trojan-Horse ($\lambda = 1100 - 1800 \text{ nm}$)



Circ - циркулятор, Iso - изолятор, ATT+WDM - сваренные attenuator и WDM-фильтр



Пропускание системы из пассивных компонентов защиты

[Sushchev 2024]
 $T_{\text{def}}^A(\lambda_A) \approx -250 \text{ dB}$

Рефлектометрия:
 $R_{\text{max}}^A \approx -49 \text{ dB}$

Информация Евы при полном внутреннем отражении ($R = 0 \text{ dB}$):

$$\mu_{\text{refl}}^A \approx 2 \cdot 10^{-11}, \quad \bar{\chi}_{\text{Eve}}^A \approx 10^{-9}$$

Информация Евы при фактическом отражении (рефлектометрия):

$$\mu_{\text{refl}}^A \approx 2 \cdot 10^{-16}, \quad \bar{\chi}_{\text{Eve}}^A \approx 10^{-14}$$

Выводы

- Представленный широкополосный рефлектометр с сантиметровым пространственным разрешением и динамическим диапазоном до -80 dB позволил напрямую исследовать возможность и эффективность атаки Trojan Horse в спектральном диапазоне $\lambda = 1100 - 1800$ нм
- Показано, что наибольшие по величине отражения около -50 dB в исследуемой системе КРК принадлежат **оптическим коннекторам**
- Информацию Евы можно свести к 0 со сколь угодно заданной точностью, рассчитав требуемый уровень изоляции системы по утечке в ходе атаки на оптимальной длине волны. Это позволяет сэкономить до 50 dB оптической изоляции и упростить компонентную базу защиты от атаки
- Полноценный анализ уязвимости систем КРК к атаке Trojan Horse подразумевает снятие **рефлектограмм** и **спектров пропускания** защитных компонентов в широком спектральном диапазоне

Спасибо за внимание!

Инженерно-квантовая лаборатория
ООО «СФБ Лаб»
Специалист
Клим Дмитриевич Бондарь



Klim.Bondar@infotecs.ru

**СФБ
ЛАБ**